

1. まえがき

近年、有限要素法による板構造の解析法は、汎用的な大型プログラムが開発されて、実用の時代に入り、設計計画の段階で日常的に広く使用されている。しかし、実際の構造物に適用する場合、インアット、アウトアットのデータ量が多く、また計算時間が莫大になると、いう欠点が現われ、これに対して種々な面から検討と改良が試みられている。鋼構造物で、一般に板要素で構成されるものが多いが、その力学的な挙動について考えると構造物は板と骨に分けることかで、骨に対しては梁理論を適用して実用的に十分な近似が得られる場合が多い。従来、補剛板の解析では補剛板の曲げ剛性と軸方向の伸び剛性を考慮し、また、補剛板の数が多いためには裏方性板の考え方を採用して計算の効率をあげてきた。しかし、補剛板が板の片面に配置されたとき、あるいは、その断面寸法が大きくなる場合には、板と骨との変位の連続性を考慮していないため不都合が生じる。

本報告は、骨に対して薄肉梁の理論を適用し、板と骨との変位の連続性を満たした有限要素解析について検討し、現論理を整理したものである。

2. 骨つき板の小テレンシマリエネルギー表示

構要素

図-1のようく板要素と構要素が結合されていくとき、構要素の内部の変位は、薄肉梁の仮定にしたがって、板要素の板厚中心面上の変位で次のようく表示されるものとする。

$$\bar{u} = u_0 - \bar{y} v_{0x} - \bar{z} w_{0x} - \omega w_{0xy}$$

$$\bar{v} = v_0 - \bar{z} w_{0y}$$

$$\bar{w} = w_0 + \bar{y} w_{0y}$$

ここで、 u_0, v_0, w_0 は板厚中心面上の奥口を通る線上の変位で、 ω は構要素の単位反りである。

構要素の小テレンシマリエネルギーは次式のようになる。

$$\begin{aligned} \Pi_B &= \frac{E}{2} \iint \bar{u}_x^2 dA dx + \frac{GJ}{2} \iint \bar{w}_{0xy}^2 dx - \int p_x \bar{u} + p_y \bar{v} + p_z \bar{w} dA \\ &\quad (\text{A, B 断面}) \\ &= \frac{E}{2} \int \bar{u}^T D_B \bar{u} dx - \bar{F}_A^T V_A - \bar{F}_B^T V_B \end{aligned}$$

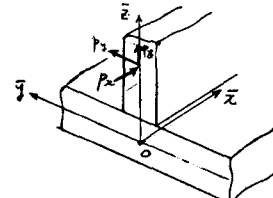
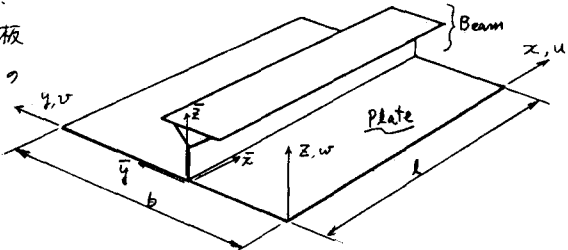
ここで、

$$\bar{V}^T = [u_{0x} \ v_{0xx} \ w_{0xx} \ w_{0xxy} \ w_{0xy}]$$

$$D = \begin{bmatrix} A & -I_y & -I_z & I_w & 0 \\ I_y & I_y^2 & I_y z & 0 & 0 \\ I_z & I_z y & I_z^2 & 0 & 0 \\ 0 & 0 & 0 & I_w & 0 \\ \text{SYM.} & & & & \frac{GJ}{E} J \end{bmatrix}$$

$$\bar{F}^T = [N_x \ N_y \ N_z \ M_x \ M_y \ M_z \ B]$$

$$V^T = [u_0 \ v_0 \ w_0 \ w_y - w_x \ \bar{u}_x \ \bar{w}_{0xy}]$$



$$A = \int dA, \quad I_y = \int \bar{y} dA$$

$$I_{xy} = \int \bar{x} \bar{y} dA, \quad I_w = \int w dA$$

$$I_{yy} = \int \bar{y}^2 dA, \quad \text{etc.}$$

$$N_x = \int p_x dA, \quad B = \int p_x w dA$$

$$M_x = \int p_x \bar{y} - p_y \bar{z} dA, \quad \text{etc.}$$

$$M_y = \int p_y \bar{x} dA$$

$$M_z = \int -p_z \bar{y} dA$$

単位反り

板厚中心面上の東口を通る軸のまわりのねじれ ω_{oy} に対して板要素の単位反り w は次のように求めよ。薄肉構造を構成する板ふみの x, y, z 軸方向の変位 u, v, w は次式で表わすことができる。

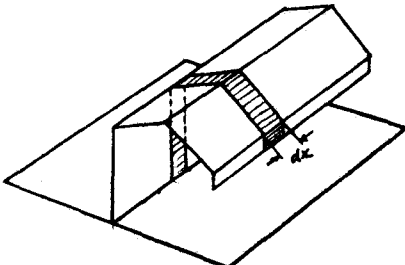
$$\hat{v} = r_0 \omega_{oy}$$

$$\hat{w} = (1 - \lambda_0) \omega_{oy}$$

$$\bar{u} = -\omega_{oy} w_{oxy}$$

したがって、板の剪断応力は

$$\tau = G (\bar{u}_0 + \hat{v}_x) = G \left(\frac{w_i - \bar{w}_i}{b} + r_0 \right) w_{oxy}$$



境界に作用する力 F は

$$\begin{pmatrix} \delta_i \\ \delta_{ip} \end{pmatrix} = w_{oxy} \frac{Gt}{b} \begin{pmatrix} 1 & -1 \\ -1 & 1 \end{pmatrix} \begin{pmatrix} w_i \\ w_p \end{pmatrix} - w_{oxy} G t r_0 \begin{pmatrix} 1 \\ -1 \end{pmatrix}$$

板どうしの境界上で力 F が釣り合ひ、変位 \bar{u} が連続であることから次の連立方程式が得られる。

$$\begin{pmatrix} 0 \\ 0 \end{pmatrix} = [K] \begin{pmatrix} w_i \\ w_p \end{pmatrix} - \begin{pmatrix} F \\ 0 \end{pmatrix}$$

板の中心軸と境界線との間は剪断变形のない仮想の板で結ばれていたものとし、中心軸上で $u=0$ 、したがって、 $w_i=0$ として上式を解くと各境界線上の反り w が得られる。このようにすれば、開断面、閉断面の区別なく求めることができる。

板要素

板要素のポテンシャルエネルギーは周知のとおり次式で示される。

$$\Pi_p = \frac{Et}{2(1-\nu^2)} \int \mathbf{E}^T D_p \mathbf{E} dA + \frac{Et^3}{24(1-\nu^2)} \int \mathbf{q}^T D_p \mathbf{q} dA - \mathbf{P}^T \mathbf{U}$$

$$\text{ここで, } \mathbf{E}^T = [u_x \quad v_y \quad u_y + v_x]$$

$$\mathbf{q}^T = [w_{xx} \quad w_{yy} \quad 2w_{xy}]$$

$$D_p = \begin{bmatrix} 1 & \nu & 0 \\ \nu & 1 & 0 \\ 0 & 0 & \frac{1-\nu}{2} \end{bmatrix}$$

\mathbf{P} : 板要素の周辺に働く力

\mathbf{U} : 变位

以上より、骨つき板のポテンシャルエネルギーは $\Pi = \Pi_p + \Pi_b$ となる。以下、有限要素法の手順に従って、板要素の中心面における変位を仮定して代表的要素(節点)の変位で表わすと、 Π は n の次元の行列であるので、 $\frac{\partial \Pi}{\partial u_i} = 0$ から骨つき板要素の釣合式を導くことができる。

3. 異方性板

板要素板要素面上に数多く節点が配置されている場合は、異方性板として取り扱うことができる。板要素の面上に単位ゆきの骨が配置されているとき、次式のようになる。

$$\Pi = \Pi_p + \frac{nE}{2} \int_A \mathbf{v}^T D_b \mathbf{v} dA - \int_{(x=0)} \mathbf{F}^T \mathbf{v} dy - \int_{(x=2)} \mathbf{F}^T \mathbf{v} dy$$

$$\mathbf{v}^T = [u_x \quad v_{xx} \quad w_{xx} \quad w_{xxy} \quad w_{xy}]$$

4. まとめ

骨の変位と薄肉梁の仮定を適用し、骨と板との変位の連続性を満足させた有限要素解析について検討した。面の節点上、微少変形に対するポテンシャルエネルギー表示にとどめたが、差し変位の関係と高次まで考慮することによって、有限変位・座屈にまで拡張することができる。